

首都高速道路公団 正員 加藤正晴
 首都高速道路公団 正員 小村 敏
 首都高速道路公団 正員 ○三浦 尚
 川田工業株式会社 正員 斎川 滉

1. まえがき

高架橋においては、桁下の建築限界の関係などから、桁端部を切欠くことが良くおこなわれる。この方法は、簡単で良く使われるわりに、未だ実用的な設計方法が確立されていない。さらに設計時点では、その詳細についての慎重な配慮に欠ける場合がほとんどである。

そこで筆者らは、実際にそのような構造を設計するに当つて、注意すべき問題点を提出すると同時に簡単な設計方法を求めるために、各種の桁切欠部の解析を行つてきた。①②

これまでの調査によつて、切欠部形状は図1に示す①～⑦の3つのタイプの内、直角に切欠く②のタイプが応力集中度が少く、また製作上からも、最も良いという結論を得ていた。さらに④に示すように、ステイフナー④で補強すれば、応力集中率は約半分に低下するという結論を得ていた。

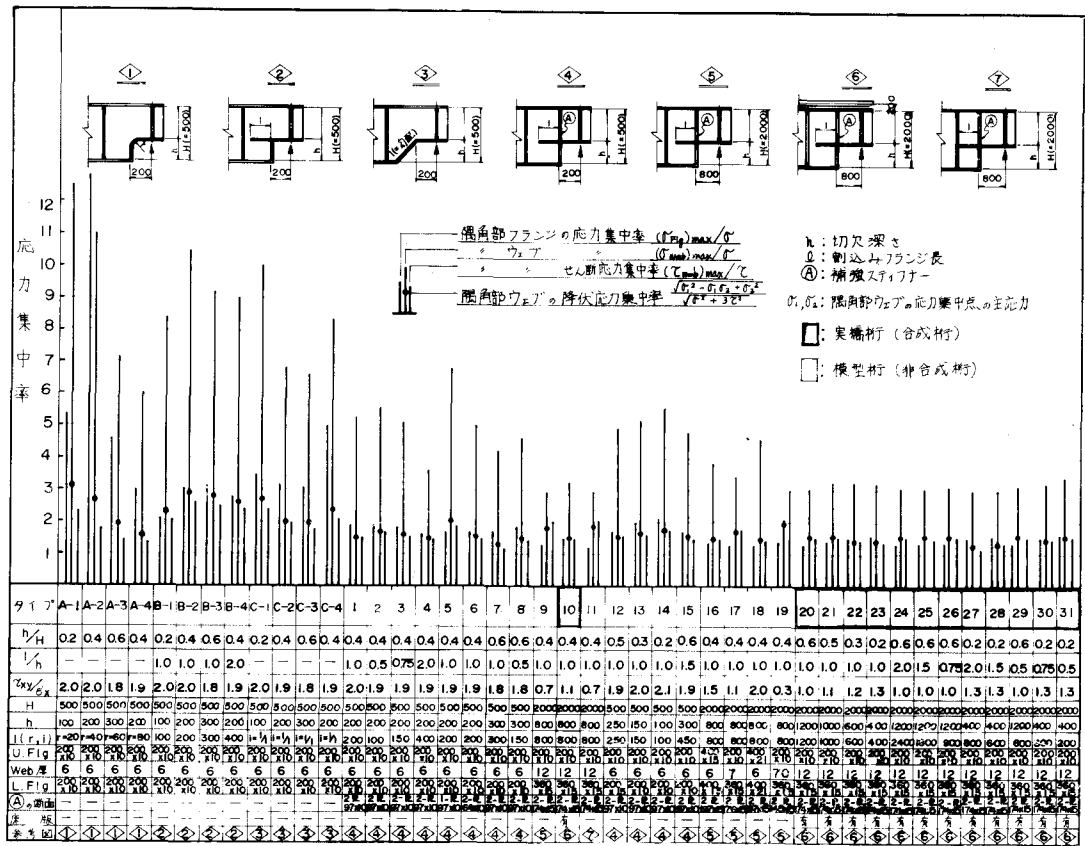


図1 解析桁と応力集中率

ただし前回までは解析方法を確立するために行つた予備試験を除いて、計算結果によつてのみ判断したのであり、実例によつて確かめたわけではなかつた。そこで今回は特に④のタイプについて模型実験をおこない、有限要素法による理論解析と実測値が合うことを確認すると共に、模型桁（桁高 500 mm）の外、コンクリート床版の付いた実際に使われる大きさの桁（桁高 2000 mm）について、切欠き深さ、割込みフランジ長さ、ウェブとフランジの断面等の変化の影響をしらべ、このような桁切欠き部の設計方法および注意点を提出するものである。

2 解析術の種類

図1にこれまで解析をあこなつてきただ様々の断面構成をもつ解析術を示す。

この内、タイプ 10^a よりタイプ 20 ~ 31 が実際に使用するものに近い断面の析である。

3 実験結果

今回解析結果と照合するため実験をおこなった桁は、図1の内、タイプ1および7である。

実験方法は文献 1) と全く同じであるので説明は省略する。

図2,3に、実測値と解析値を示すが、これから実測値と解析値は、よく一致していることがわかる。
したがつて(4) タイ

素法による解析は、

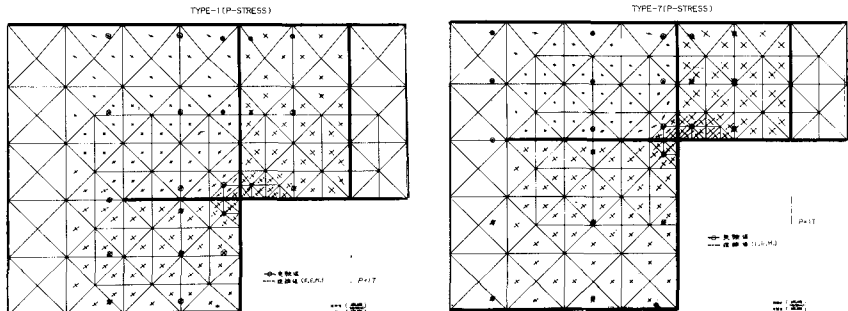


図 2 主応力の比較

正しい解析と言えるであろう。

図4に、たわみの実測値を示すが
この供試杭においては、単純計算
による降伏荷重よりかなり低い荷
重で、降伏が始まっていることが
わかる。

4. 解析結果

各桁の解析結果は、文献2)と

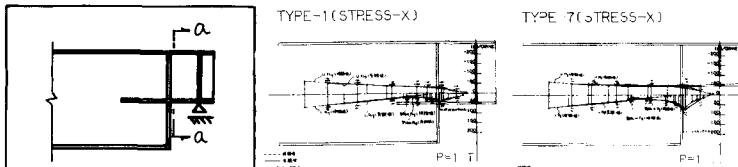


図 3 フランジに沿う応力の比較

て、 α ：桁理論により
単純計算した $\alpha - \alpha_{\text{断面のウェブの剪断応力}}^{\text{面の直応力}}$
と下フランジの直応力。

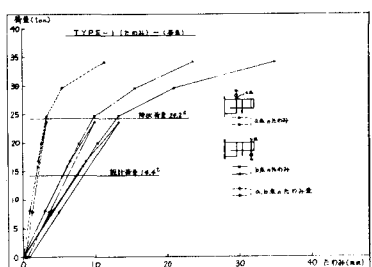


図4 簡重二なわみ関係の実測値

同様に応力集中率で比較する。ただしこれで言う応力集中率とは、有限要素法によつて求めた最大応力度と、図-5に示すようなくぎ欠きの影響を考えない梁の計算応力度との比のことである。

ただし、ウェブの最大直応力度に対しては、前回まではフランジの直応力度との比で表わしていくのに対し、実際に桁の設計をする場合には、この部分の断面は、せん断応力度と直応力度との組合せて決まってくる。そこで今回は、有限要素法による計算結果の $\sqrt{\sigma_1^2 - \sigma_1 \sigma_2 - \sigma_2^2}$ (σ_1, σ_2 ; ウェブの主応力度)’と、単純計算による $\sqrt{\sigma^2 + 3\tau^2}$ の比として求めることにした。

この値は図 1 では●印で示されている。

図 6 に割込みフランジ長さと応力集中率との関係を示す。左の図は切欠部フランジの最大応力発生点での値であり、右の図はウエブの値である。これを見ると割込みフランジ長の影響は、フランジ応力に対してよりも、ウエブの応力に対しての方が大きいことがわかる。そしてその割込み長さは、切欠き深さ δ の 0.75 ~ 1.0 倍程度で十分であることがわかる。

図 7 に桁の切欠き深さと応力集中率との関係を示す。これからフランジの応力集中率は切欠き量が大きくなるにしたがって小さくなることがわかる。またその値は、切欠き量 δ の絶対量によって直線変化しているようである。ウエブの応力に関しては明らかな傾向は示さない。

図 8 には、単純計算によるせん断応力度と直応力度との比 τ/σ と、応力集中率との関係を示す。

これによると、ウエブの応力集中率は、 τ/σ が小さくなると、大きくなる傾向にある。これは τ/σ が小さくなると、せん断応力度がウエブ中心部において平均値より大きくなるからであると思われる。

図 9 ~ 11 には、解析結果の一例としてウエブ部分の桁軸方向の応力分布、せん断応力分布、フランジに沿う応力分布を

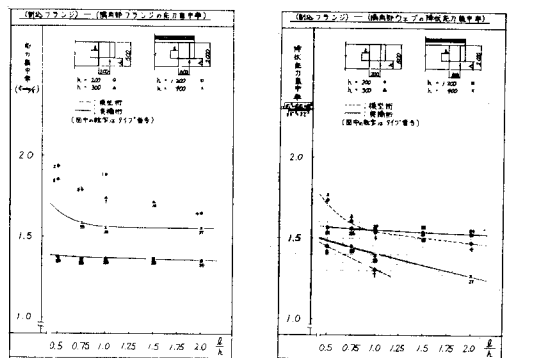


図 6 割込みフランジの影響

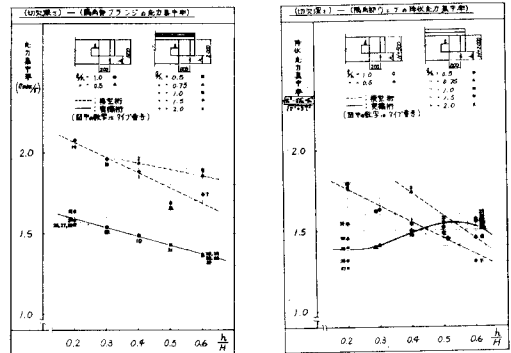


図 7 切欠き深さの影響

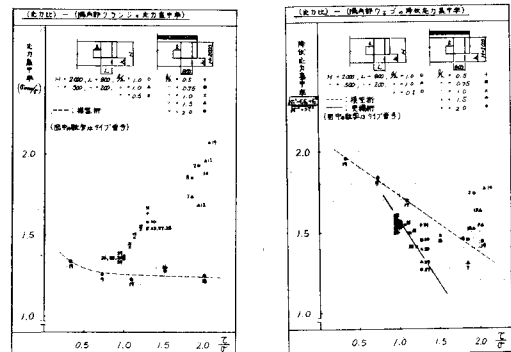


図 8 応力比の影響

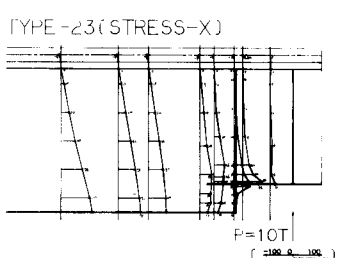


図 9 桁断面の桁軸方向の応力分布の一例

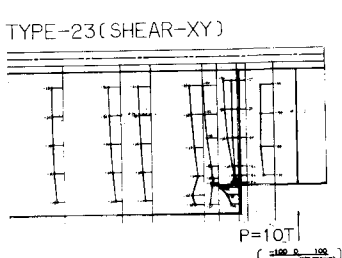


図 10 桁断面のせん断応力分布の一例

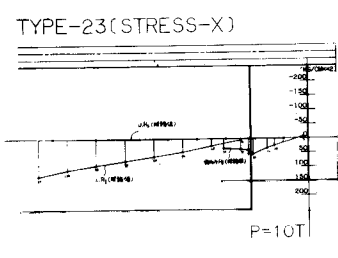


図 11 フランジに沿う応力分布の一例

示す。

尚、有限要素法の計算方法については、文献1)を参照されたい。

5 結論

以上述べたように、桁切欠部の最適設計をおこなうため、有限要素法による理論解析と、模型実験によるその理論解析の確認をおこなつてきた。

今回の解析、実験、および文献1)2)で解析したものを見合して、桁切欠部の設計方法としては次のように結論できる。

- (1) 実用タイプとしては、製作上の有利さもあつて、図12に示すような補強スティフナーをつけた④タイプが良い。
- (2) この種の桁のせん断応力度は、応力集中の影響を考慮して、単純計算の値を1.7倍するのが適当である。
- (3) 切欠部下フランジの応力度は、応力集中の影響を考慮して、単純計算の値を1.7倍するのが適当である。
- (4) 桁切欠部も一般部と同様に、せん断応力度と直応力度との組合せを照査しなければならない。またその時の応力度は、前記(2)、(3)によつて、1.7倍したものを用いる。
- (5) 割込みフランジ長 l は、桁の切欠き深さ程度で良い。
- (6) 割込みフランジ端には、垂直補剛材を設ける必要はない。

6 あとがき

上記結論に従つて設計を行えば、一々有限要素法による面倒な設計を行わざとも、安全な構造物を簡単に設計できる。ただし今回の解析では、切欠量の大きいもので中立軸が床版の中に入る場合にはコンクリートが引張に抵抗するとしている。これによる影響はあまり大きくないと考えられるが、この点については別の機会に検討してみたいと考える。

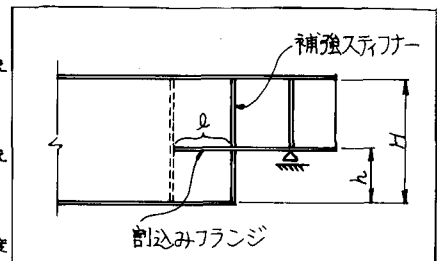


図12 桁切欠き部

- 1) 加藤正晴・小村敏・矢作松・庭川滋：飯桁端部切欠部の応力分布（その1），第26回年次学術講演会講演概要，土木学会，昭和46年10月 P 641
- 2) 加藤正晴・小村敏・三浦尚・庭川滋：飯桁端部切欠部の応力分布（その2），第26回年次学術講演会講演概要，土木学会，昭和46年10月 P 645